

3 Modelagem do fluido interno

Observa-se que em muitas aplicações de cascas cilíndricas há o contato, total ou parcial, com um meio fluido. A presença do fluido influencia o comportamento dinâmico da casca. A pressão exercida pelo fluido é considerada, tradicionalmente, como uma massa adicional à massa da casca, provocando, assim, um aumento da inércia do sistema.

Uma análise para este tipo de problema exige a solução simultânea das equações de movimento da casca e do fluido, juntamente com as condições de contato, condições iniciais e condições de contorno. Tem-se, então, um problema de interação fluido-estrutura, onde os deslocamentos da casca dependem da pressão exercida pelo fluido que, por sua vez, depende do movimento da casca.

Neste trabalho, considera-se um fluido incompressível e não-viscoso interno à casca, sendo seu movimento considerado irrotacional. Essas hipóteses simplificam os cálculos para a obtenção da pressão hidrodinâmica (P_H), já que o movimento do fluido, neste caso, pode ser descrito por um potencial de velocidade ϕ .

3.1. Equações básicas do fluido

O movimento de um fluido é conhecido se a cada instante t podem-se determinar, além da distribuição de velocidade $\mathbf{V}(\mathbf{x}, t)$, duas quantidades quaisquer relativas ao seu comportamento termodinâmico, como, por exemplo, a pressão $p(\mathbf{x}, t)$ e a densidade $\rho_F(\mathbf{x}, t)$. As quantidades \mathbf{V} , p e ρ_F estão relacionadas a um ponto \mathbf{x} no espaço (Landau e Lifshitz, 1966).

O escoamento de um fluido não-viscoso e incompressível é descrito pela equação de continuidade:

$$\operatorname{div} \mathbf{V} = 0 \quad (3.1)$$

que traduz sob forma matemática a condição de incompressibilidade, e a equação de Euler:

$$\frac{\partial \mathbf{V}}{\partial t} + (\mathbf{V} \cdot \text{grad}) \mathbf{V} = -\frac{\text{grad } p}{\rho_F} + \mathbf{F} \quad (3.2)$$

que é precisamente a equação de movimento. O primeiro termo refere-se à aceleração das partículas em movimento e o segundo, às forças hidrodinâmicas $(-\text{grad } p / \rho_F)$ e externas (\mathbf{F}) aplicadas a estas partículas.

O sistema de equações formado pelas equações (3.1) e (3.2) é bastante geral. Para utilizá-lo em uma série de problemas hidrodinâmicos, devem-se impor certas condições complementares.

Se o fluido encontra-se em um campo de forças conservativas, as forças externas \mathbf{F} podem ser derivadas a partir de um potencial:

$$\mathbf{F} = \text{grad } T \quad (3.3)$$

Por exemplo, se o fluido está sob a ação de forças gravitacionais orientadas segundo um eixo X , tem-se que $T = -gX$ onde g é a aceleração da gravidade. Assim a equação (3.2) é reescrita da seguinte maneira:

$$\frac{\partial \mathbf{V}}{\partial t} + (\mathbf{V} \cdot \text{grad}) \mathbf{V} = -\frac{\text{grad } p}{\rho_F} + \mathbf{g} \quad (3.4)$$

Nestas circunstâncias o teorema de Kelvin afirma que a circulação:

$$\Gamma = \oint_{\ell} (\mathbf{V} \cdot d\mathbf{x}) \quad (3.5)$$

do vetor velocidade ao longo de um “contorno fluido” fechado qualquer permanece constante durante o movimento, ou seja (Landau e Lifshitz, 1966):

$$\frac{d\Gamma}{dt} = \frac{d}{dt} \oint_{\ell} (\mathbf{V} \cdot d\mathbf{x}) = 0 \quad (3.6)$$

Para um movimento em que a velocidade inicial é nula, a circulação ao longo de um “contorno fluido” fechado é identicamente nula. Tem-se, então, em virtude da fórmula de Stokes:

$$\frac{d}{dt} \oint_{\ell} (\mathbf{V} \cdot d\mathbf{x}) = \int_S \text{rot } \mathbf{V} \cdot \mathbf{n} dS \quad (3.7)$$

(onde S é uma superfície estendida sobre o contorno ℓ) e do fato que a superfície S é arbitrária, que:

$$\text{rot } \mathbf{V} = 0 \quad (3.8)$$

durante o escoamento.

A equação (3.8) é a condição necessária para a ausência de rotação (movimento irrotacional) e suficiente para que exista uma função escalar $\phi(\mathbf{x}, t)$, denominada potencial de velocidade, tal que (Landau e Lifshitz, 1966)

$$\mathbf{V} = \text{grad} \phi \quad (3.9)$$

No caso da velocidade ser completamente definida por $\phi(\mathbf{x}, t)$, já não é mais necessário trabalhar com a função vetorial \mathbf{V} , bastando determinar a função escalar $\phi(\mathbf{x}, t)$ que satisfaça o problema. Substituindo (3.9) em (3.1), observa-se que $\phi(\mathbf{x}, t)$ é solução da equação de Laplace:

$$\text{div}(\text{grad} \phi) = \nabla^2 \phi = 0 \quad (3.10)$$

A equação (3.2) permite determinar \mathbf{V} em função do tempo e da pressão p . A existência de um potencial $\phi(\mathbf{x}, t)$ permite igualmente simplificar esta equação. As equações (3.3) e (3.9) permitem que se reescreva a equação (3.2) da seguinte maneira:

$$\text{grad} \left[\frac{\partial \phi}{\partial t} + \frac{1}{2} (\text{grad} \phi)^2 + \frac{p}{\rho_F} - T \right] = 0 \quad (3.11)$$

de onde se obtém a fórmula dita de Cauchy-Lagrange:

$$\frac{\partial \phi}{\partial t} + \frac{1}{2} (\text{grad} \phi)^2 + \frac{p}{\rho_F} - T = f(t) \quad (3.12)$$

onde $f(t)$ é uma função do tempo e pode ser tomada como zero sem perda de generalidade.

Para um escoamento estacionário, tem-se que o potencial $\phi(\mathbf{x}, t)$ independe do tempo, ou seja, $\partial \phi / \partial t = 0$, $f(t) = \text{constante}$, e a equação (3.12) reduz-se à fórmula de Bernoulli:

$$\frac{\partial \phi}{\partial t} + \frac{1}{2} (\text{grad} \phi)^2 + \frac{p}{\rho_F} - T = \text{constante} \quad (3.13)$$

A resolução do problema dinâmico assim definido se reduz à procura da solução das equações (3.10) e (3.12) que satisfazem as condições de contorno na interface fluido-estrutura.

3.2.

Determinação do potencial de velocidade do fluido

Na Figura 3.1 está ilustrada uma casca cilíndrica com fluido interno a uma altura H . Pode-se, perceber que, para $x < H$, o fluido exerce uma pressão interna nas paredes da casca, e, para $x = H$ existe uma superfície livre do fluido que pode movimentar-se na direção vertical e interagir-se com a vibração da casca.

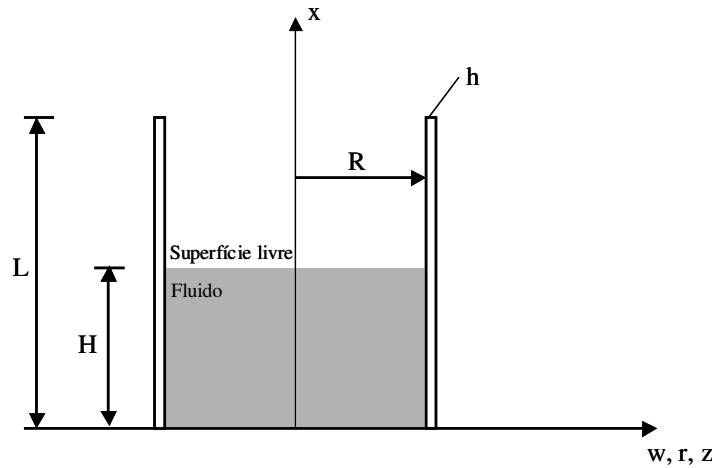


Figura 3.1 – Representação esquemática do fluido interno à casca cilíndrica.

A partir da equação (3.13), tem-se que a pressão p exercida pelo fluido, que daqui por diante é definida como a pressão hidrodinâmica, P_H , pode ser escrita em função do potencial de velocidade do fluido desde que se considere que $T=0$. Chega-se assim a:

$$P_H = -\rho_F \left[\dot{\phi} + \frac{1}{2} \left(\phi_{,x}^2 + \frac{1}{r^2} \phi_{,\theta}^2 + \phi_{,r}^2 \right) \right] \Big|_{r=R} \quad (3.14)$$

O potencial de velocidade ϕ deve satisfazer à condição de continuidade, equação (3.10), que em coordenadas cilíndricas é escrita na forma:

$$\phi_{,rr} + \frac{1}{r} \phi_{,r} + \frac{1}{r^2} \phi_{,\theta\theta} + \phi_{,xx} = 0 \quad (3.15)$$

Além da equação (3.15), o potencial ϕ deve atender às condições de contorno apropriadas na interface entre o fluido e a estrutura. Neste trabalho, consideram-se dois casos distintos para descrever a interface entre o fluido e a estrutura. Um deles considera a casca cilíndrica apoiada em um fundo rígido que impede o deslocamento axial do fluido nessa superfície. No segundo caso considera-se que a casca está apoiada em um fundo flexível que não oferece nenhuma restrição ao movimento axial do fluido.

Assim, as condições de contorno, para o caso em que há a presença do fundo rígido, são:

$$\frac{\partial \phi}{\partial x} = 0 \Big|_{x=0} \quad (3.16)$$

que garante a velocidade axial nula no fundo rígido,

$$\left. \frac{\partial \phi}{\partial r} = \dot{w} \right|_{r=R} \quad (3.17)$$

que é a condição de impenetrabilidade, garantindo a continuidade dos deslocamentos radiais entre o fluido e a casca cilíndrica, e

$$\phi = 0 \Big|_{x=H} \quad (3.18)$$

que afirma ser a pressão hidrodinâmica nula na superfície livre do fluido.

Para o caso em que o fundo da casca cilíndrica não oferece impedimento aos deslocamentos axiais do fluido, deve-se alterar a condição de contorno (3.16) para:

$$\phi = 0 \Big|_{x=0} \quad (3.19)$$

pois a superfície que antes era rígida torna-se uma superfície livre como a descrita em $x = H$.

Tem-se que o potencial de velocidade:

$$\phi = \sum_{\bar{m}=1}^{\bar{M}} A_{\bar{m}}(t) \cos\left(\frac{(2\bar{m}-1)\pi x}{2H}\right) I_n\left(\frac{(2\bar{m}-1)\pi r}{2H}\right) \quad (3.20)$$

atende as condições de contorno (3.16) e (3.18), ou seja, o caso em que há um fundo rígido na base ($x = 0$) da casca cilíndrica (Kim et al., 2004). Nesta equação, I_n é a função modificada de Bessel de primeira classe e ordem n .

Para determinar a amplitude de cada modo $A_{\bar{m}}$, presente na equação (3.20), emprega-se a condição de impenetrabilidade, equação (3.17). Empregando o do método de Galerkin e utilizando como função peso o próprio termo trigonométrico da equação (3.20), tem-se que as amplitudes modais podem ser escritas em função do campo de deslocamentos laterais da casca, w , por:

$$A_{\bar{m}}(t) = \frac{\int_0^H \left[\left(\frac{\partial w}{\partial t} \right) \cos\left(\frac{(2\bar{m}-1)\pi x}{2H}\right) \right] dx}{\int_0^H \left[\left(\frac{\partial \phi}{\partial r} \right) \cos\left(\frac{(2\bar{m}-1)\pi x}{2H}\right) \right] dx} \Big|_{r=R} \quad (3.21)$$

Finalmente, a pressão hidrodinâmica de uma casca cilíndrica apoiada sobre um fundo rígido é determinada a partir da equação (3.14) linearizada, obtendo-se:

$$P_H = -\rho_F \sum_{\bar{m}=1}^{\bar{M}} \frac{\partial A_{\bar{m}}(t)}{\partial t} \cos\left(\frac{(2\bar{m}-1)\pi x}{2H}\right) I_n\left(\frac{(2\bar{m}-1)\pi r}{2H}\right) \quad (3.22)$$

A partir da equação (3.22), observa-se que a pressão hidrodinâmica, P_H , apresenta em seus termos a primeira derivada com relação ao tempo da amplitude $A_{\bar{m}}$ que, por sua vez, traz consigo, após a resolução da equação (3.21), termos com a primeira derivada com relação ao tempo de w . Assim, a pressão hidrodinâmica apresenta termos relativos à segunda derivada de w com relação ao tempo, ou seja, termos inerciais que são adicionados aos termos inerciais do sistema de equações de movimento da casca cilíndrica, equação (2.21).

De maneira semelhante, a pressão hidrodinâmica para uma casca cilíndrica que não esteja apoiada sobre um fundo rígido, caso em que a condição de contorno (3.16) é substituída pela condição de contorno (3.19), o potencial de velocidade do fluido, equação (3.20), é dado por:

$$\phi = \sum_{\bar{m}=1}^{\bar{M}} A_{\bar{m}}(t) \cos\left(\frac{\pi(2\bar{m}-1)(H+2x)}{4H}\right) I_n\left(\frac{(2\bar{m}-1)\pi r}{2H}\right) \quad (3.23)$$

para atender as condições de contorno (3.18) e (3.19).

A determinação das amplitudes $A_{\bar{m}}$ se dá, também, a partir da aplicação do método de Galerkin. Utilizando como função peso o termo trigonométrico da equação (3.23), tem-se para $A_{\bar{m}}$:

$$A_{\bar{m}}(t) = \frac{\int_0^H \left[\left(\frac{\partial w}{\partial t} \right) \cos\left(\frac{\pi(2\bar{m}-1)(H+2x)}{4H}\right) \right] dx}{\int_0^H \left[\left(\frac{\partial \phi}{\partial r} \right) \cos\left(\frac{\pi(2\bar{m}-1)(H+2x)}{4H}\right) \right] dx} \Bigg|_{r=R} \quad (3.24)$$

Observa-se que, para a determinação da pressão hidrodinâmica, deve-se conhecer o campo de deslocamento radial, w . No próximo capítulo, é apresentada a formulação utilizada neste trabalho para a determinação do campo de deslocamento radial.

3.3. Considerações sobre a vibração da superfície livre do fluido (*sloshing*)

Os efeitos da vibração superfície livre de um fluido no interior de uma casca cilíndrica foram investigados por diversos autores, como, por exemplo, Gonçalves e Ramos (1996), Amabili et al. (1998) e Kim et al. (2004).

Neste caso, é comum se considerar que a casca cilíndrica está apoiada sobre um fundo rígido e que o potencial de velocidade do fluido pode ser descrito por:

$$\bar{\phi} = \phi + \phi^S \quad (3.25)$$

sendo $\bar{\phi}$ o potencial de velocidade total do fluido considerando-se a soma do potencial de velocidade da casca cilíndrica sobre um fundo rígido, ϕ , definido na equação (3.20), e do potencial de velocidade relativo à superfície livre do fluido.

Como a menor frequência natural da casca é usualmente muito maior do que as menores frequências naturais da superfície livre do fluido, considera-se que o movimento da superfície livre é incapaz de excitar o primeiro modo de vibração da casca cilíndrica. Assume-se assim que o fluido está interagindo com uma casca rígida e deve satisfazer as seguintes condições de contorno:

$$\left. \frac{\partial \phi^S}{\partial x} \right|_{x=0} = 0 \quad (3.26)$$

que garante a velocidade axial nula no fundo rígido, e

$$\left. \frac{\partial \phi^S}{\partial r} \right|_{r=R} = 0 \quad (3.27)$$

que especifica que a casca cilíndrica é rígida.

O potencial de velocidade:

$$\phi^S = \sum_{\bar{k}=1}^{\bar{K}} B_{\bar{k}}(t) \cosh\left(\frac{\varepsilon_{\bar{k}n} x}{R}\right) J_n\left(\frac{\varepsilon_{\bar{k}n} r}{R}\right) \left(\frac{\partial w}{\partial t}\right) \quad (3.28)$$

atende automaticamente a condição de contorno (3.26). Nesta equação, J_n é a função de Bessel de primeira classe e ordem n . Substituindo-se (3.28) em (3.27), chega-se à restrição:

$$\left. \frac{d}{dr} \left[J_n\left(\frac{\varepsilon_{\bar{k}n} r}{R}\right) \right] \right|_{r=R} = 0 \quad (3.29)$$

onde $\varepsilon_{\bar{k}n}$ são as raízes dessa equação de restrição.

Tem-se, ainda, que o potencial de velocidade deve atender à seguinte equação de *sloshing*:

$$\frac{\partial^2}{\partial t^2} \phi^S = g \frac{\partial}{\partial x} (\phi^S + \phi) \quad (3.30)$$

A equação (3.30) é válida para todo intervalo $0 \leq r \leq R$. Substituindo (3.20) e (3.28) em (3.30) e, em seguida, aplicando o método de Galerkin com a função peso $J_n(\varepsilon_{\bar{k}n} r/R)$ chega-se a:

$$\begin{aligned} & \sum_{\bar{k}=1}^{\bar{K}} \int_0^R \left[\left(\frac{\partial^2}{\partial t^2} B_{\bar{k}}(t) \right) \cosh \left(\frac{\varepsilon_{\bar{k}n} x}{R} \right) J_n^2 \left(\frac{\varepsilon_{\bar{k}n} r}{R} \right) \left(\frac{\partial^2 w}{\partial t^2} \right) \right] r dr \\ &= -g \sum_{\bar{k}=1}^{\bar{K}} \sum_{\bar{m}=1}^{\bar{M}} \int_0^R \left\{ \left[\left(\frac{\partial A_{\bar{m}}}{\partial x} \right) \cos \left(\frac{(2\bar{m}-1)\pi x}{2H} \right) \right. \right. \\ & \quad \left. \left. - \frac{(2\bar{m}-1)\pi A_{\bar{m}}}{2} \operatorname{sen} \left(\frac{(2\bar{m}-1)\pi x}{2H} \right) \right] \times \right. \\ & \quad \left. I_n \left(\frac{(2\bar{m}-1)\pi r}{2H} \right) J_n \left(\frac{\varepsilon_{\bar{k}n} r}{R} \right) \right\} r dr \\ & \quad + g \sum_{\bar{k}=1}^{\bar{K}} \int_0^R \left[B_{\bar{k}}(t) \frac{\varepsilon_{\bar{k}n}}{R} J_n^2 \left(\frac{\varepsilon_{\bar{k}n} r}{R} \right) \right] r dr \end{aligned} \quad (3.31)$$

onde $A_{\bar{m}}$ é a solução da equação (3.21).

Para determinar as amplitudes $B_{\bar{k}}$ presentes na equação (3.31), deve-se resolver esta equação juntamente com o sistema de equações não-lineares da casca cilíndrica, equação (2.21).

Verifica-se, na equação (3.31), que o primeiro termo do lado direito da igualdade apresenta a primeira derivada com relação a coordenada axial do termo $A_{\bar{m}}$ que, por sua vez, é função de w . Assim, quando se considera os efeitos da superfície livre na vibração da casca cilíndrica, a equação de *sloshing* do fluido insere, além dos termos inerciais presentes na pressão hidrodinâmica, termos que são função puramente de w , modifica-se assim a rigidez e a inércia da casca.